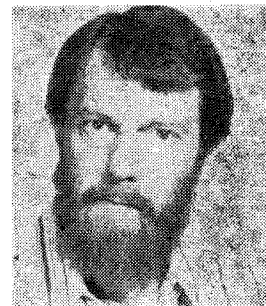


A komplex frekvencia függvényeként értelmezett terjedési együttható inhomogén kitöltésű csőtápvonalaknál

DR. MAGOS ANDRÁS
BME Elméleti Villamosságtan Tanszék



ÖSSZEFOGLALÁS

Inhomogén kitöltésű csőtápvonalak terjedési együtthatóját a dolgozat a komplex frekvencia olyan végtelen sok értékű függvényeként értelmezi, amelynek két ága tartozik egy módushoz a két terjedési iránynak megfelelően. Leírja ezen függvény néhány tulajdonságát és Riemann-felületének geometriáját. Példaként részletesen foglalkozik a téglalap keresztmetszetű csőtápvonallal.

1. Bevezetés

A csőtápvonalak tulajdonságait általában $\exp(j\omega t)$ alakú időfüggés mellett vizsgálják, és a terjedési együtthatót az ω frekvencia függvényében adják meg. Az $s = \sigma + j\omega$ komplex frekvencia bevezetése és az $\exp(st)$ alakú időfüggés egy ennél általánosabb leírást eredményez. Az s komplex frekvencia tekinthető a Laplace-transzformáció változójának is.

Ha a γ terjedési együtthatót a komplex frekvencia függvényeként értelmezzük, célszerű a csőhullám terjedési irányát az energia terjedési irányával azonosítani és a két lehetséges terjedési iránynak γ két értékét megfeleltetni. Így minden módusnak a végtelen sok értékű $\gamma(s)$ függvény két ága felel meg. A $\gamma(s)$ függvény tulajdonságait az s -síkbeli Riemann-felületének leírásával lehet szemléltetni.

2. A $\gamma(s)$ függvény Riemann-felülete

A csőtápvonal elektromágneses terét tranzverzális és longitudinális komponensek összegeként írjuk fel:

$$\mathbf{E} = (\mathbf{e}_T + \mathbf{e}_z) \exp(st + \gamma z), \quad (1)$$

$$\mathbf{H} = (\mathbf{h}_T + \mathbf{h}_z) \exp(st + \gamma z). \quad (2)$$

A $\lambda = \gamma^2$ sajátértéket a

$$\mu \operatorname{rot} \frac{\operatorname{rot} \mathbf{e}_T}{\mu} - \operatorname{grad} \frac{\operatorname{div} \epsilon \mathbf{e}_T}{\epsilon} + s^2 \epsilon \mu \mathbf{e}_T = \lambda \mathbf{e}_T \quad (3)$$

egyenlethez tartozó peremérték-feladat határozza meg. Minden módushoz a $\lambda(s)$ függvény egy ága tartozik. A különböző ágak felhasítások mentén egymáshoz kapcsolódhatnak. A felhasítások elágazási pontokból indulnak el. Egy elágazási pontban két különböző módus elektromágneses tere megegyezik.

DR. MAGOS
ANDRÁS

1964-ben kapott villamosmérnöki oklevelet a Budapesti Műszaki Egyetemen. Azóta ugyanott, az Elméleti Villamosságtan Tan-

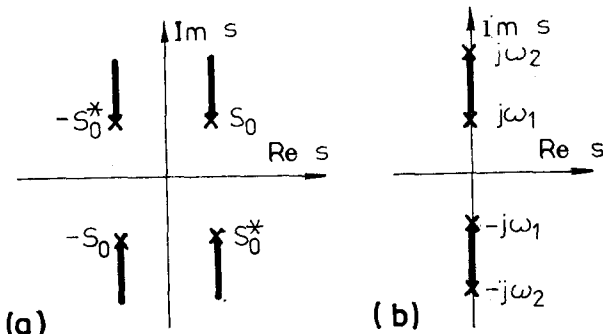
széken dolgozik, jelenleg docensként. Az egyetemi doktori címet 1969-ben, a műszaki tudományok kandidátusa fokozatot 1982-ben szerezte meg, az előbbi a hálózatelmélet, az utóbbit a csőtápvonalak elméletének témakörében.

Bebizonyítható [1], hogy a $d\lambda/ds^2$ differenciálhányados az alábbi alakban fejezhető ki:

$$\frac{d\lambda}{ds^2} = \frac{\int \epsilon \mu (\mathbf{e}_T \times \mathbf{h}_T) dA}{\int (\mathbf{e}_T \times \mathbf{h}_T) dA} = \frac{\int [\lambda \mathbf{e}_T^2 - (\operatorname{div} \epsilon \mathbf{e}_T)^2 / \epsilon] dA}{\int [s^2 \epsilon \mathbf{e}_T^2 + (\operatorname{rot} \mathbf{e}_T)^2 / \mu] dA}, \quad (4)$$

ahol az integrálást a csőtápvonal teljes keresztmetszete mentén kell elvégezni. Az elágazási pontok helyét annak alapján lehet meghatározni, hogy azokban a fenti derivált nem létezik, vagyis a nevezőben álló kifejezés nullává válik. Bebizonyítható, hogy az s -sík valós tengelyén nem lehet elágazási pont. A $\lambda(s)$ függvény két ágának közös elágazási pontjai az 1. ábrán bemutatott négyes csoportokban helyezkednek el. Az 1. b. ábrán látható változat hátráló hullámmal jár együtt.

Az elágazási pontok ismeretében elkülöníthetők $\lambda(s)$ egyes ágai, vagyis kijelölhetők a felhasítások. Az ágak elkülönítése nem egyértelmű, a számtalan lehetőség közül egy látható az 1. ábrán. Eszerint a képzetes tengelyen elhelyezkedő elágazási ponto-



H212-1

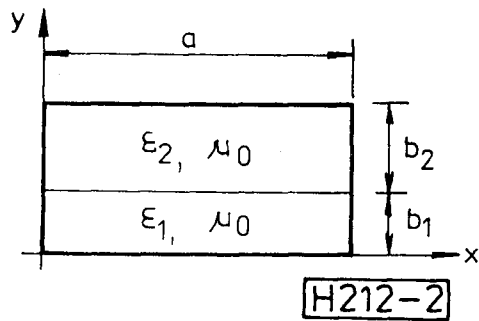
Beérkezett: 1986. V. 9. (H)

1. ábra. A $\lambda(s)$ függvény elágazási pontjai és a felhasítások

kat véges hosszúságú felhasítások kötik össze, a többi elágazási pontból a képzetes tengellyel párhuzamosan végtelen hosszú felhasítások indulnak. Az így elkülönített ágak megfelelnek a szokásos módon értelmezett módusoknak.

A $\gamma = \lambda^{1/2}$ összefüggés szerint a $\lambda(s)$ függvény minden ágának a $\gamma(s)$ függvény két ága felel meg. Ezeket a két lehetséges terjedési irányhoz rendeljük, ha a hullám terjedési irányát az energia terjedési irányával azonosítjuk. Mindkét ágon megjelennek a $\lambda(s)$ függvény megfelelő ágának felhasításai, de emellett megjelenik egy vagy több további felhasítás is, amelyek mentén a két ág egymáshoz kapcsolódik. Bizonyítható, ha $\text{Res} \neq 0$, akkor $\text{Re} \gamma \neq 0$, és hogyha Res és $\text{Re} \gamma$ ellenkező előjelű, akkor az (1) és (2) összefüggések által leírt hullámban az energia a pozitív z -tengely irányába terjed. Ha $\text{Res} = 0$ és $\text{Re} \gamma = 0$, akkor, a terjedési irány határátmenettel határozható meg. Ha $\text{Res} = 0$ és $\text{Re} \gamma \neq 0$, akkor mindkét terjedési irány előfordul a tekintett pont környezetében, vagyis ezen a frekvencián a terjedési irány nem értelmezhető. Az s -sík képzetes tengelyének ilyen pontjai felhasításokhoz tartoznak, amelyek mentén $\gamma(s)$ különböző terjedési irányokhoz tartozó ágai kapcsolódnak egymáshoz.

Az előzőek alapján már leírható a $\gamma(s)$ függvény s -síkbeli Riemann-felületének geometriája. Minden módushoz két levél tartozik a két terjedési iránynak megfelelően. Az 1. ábrán bemutatott felhasítások mentén két különböző módushoz, de azonos terjedési irányhoz tartozó levelek vannak összeragasztva a szokásos módon, vagyis az egyik levél felhasításának bal oldali pereme a másik levél felhasításának jobb oldali pereméhez kapcsolódik és fordítva. Ha $\lambda(s)$ egy ágának nincs elágazási pontja a képzetes tengelyen, akkor λ ott csak valós értékeket vehet fel, ezen belül pozitív valós értéket csak a $-j\omega_h$ és $j\omega_h$ közötti szakaszon vesz fel, ahol ω_h a módus határfrekvenciáját jelöli. Ezen a szakaszon γ valós, és így ez a szakasz egy felhasítást jelent, amely mentén a módus két terjedési irányához tartozó két levél van összeragasztva. Ha $\lambda(s)$ két ágának közös felhasítása van a képzetes tengelyen (1. b ábra), akkor ezen felhasítás mentén $\text{Im} \lambda \neq 0$, és így $\text{Re} \gamma \neq 0$. Emiatt a felhasítás mentén a Riemann-felület két olyan levele van összeragasztva, amelyek két különböző módushoz és terjedési irányhoz tartoznak. Mindkét módusnál λ pozitív valós a képzetes tengelynek a $-j\omega_1$ és $j\omega_1$ pontok (1. b ábra) közötti szakaszán, így ez a szakasz $\gamma(s)$ mind a négy megfelelő ágán felhasítást jelent, amelyek mentén egy módus különböző terjedési irányaihoz tartozó két levél van összeragasztva. Ha $s = j\omega$ és $\omega > \omega_2$, mindkét módusnál λ valós és általában negatív, kivéve egy $\omega_3 < \omega < \omega_4$ frekvencia-intervallumot, amelyben az egyik módusnál λ pozitív valós. Így az ezen módushoz tartozó két levél a képzetes tengelynek a $j\omega_3$ és $j\omega_4$ pontok közötti szakaszán a szokásos módon össze van ragasztva. Ez a módus az $\omega_2 < \omega < \omega_3$ frekvencia-intervallumban hátráló hullámot jelent [2]. Hátráló hullámnál a dolgozatban használt terjedési irány és a szokásos módon értelmezett terjedési irány egymással ellentétes.



2. ábra. Inhomogén kitöltésű téglalap keresztmetszetű csőtápvonal

3. Inhomogén kitöltésű téglalap keresztmetszetű csőtápvonal

Ismeretes [3], hogy a 2. ábrán látható csőtápvonalban ún. LE_{mn} és LM_{mn} módusok alakulhatnak ki. A térerősség komponensek x -től $\cos(m\pi x/a)$ vagy $\sin(m\pi x/a)$ alakban függenek, az n index pedig az y -től való függésre utal. A $\gamma(s)$ függvény Riemann-felülete szétesik végtelen sok, egymástól független Riemann-felületre. Egy ilyen Riemann-felület tartalmazza egy rögzített m értékhez tartozó összes LE_{mn} vagy összes LM_{mn} módusnak megfelelő levelet.

Az elágazási pontokat az

$$\int (\mathbf{e}_r \times \mathbf{h}_r) dA = 0 \quad (5)$$

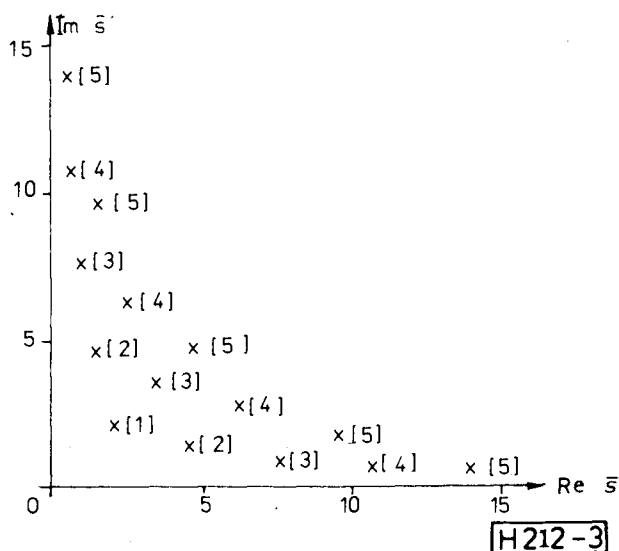
feltételből lehet meghatározni, amely az $r = b_2/b_1$ jelöléssel az alábbi egyenletrendszerhez vezet az LE módusoknál:

$$(r^3 x^2 + y^2) \cos x \cos y - (r^2 + r)xy \sin x \sin y + r^2 x \sin x \cos y + ry \cos x \sin y = 0 \quad (6)$$

$$rx \cos x \sin y + y \sin x \cos y = 0. \quad (7)$$

Ezen egyenletrendszer olyan megoldásai, amelyekre $x \neq 0$ és $y \neq 0$, egy elágazási pontot adnak meg az

$$s = \sqrt{\frac{(y/b_2)^2 - (x/b_1)^2}{\mu_0(\epsilon_1 - \epsilon_2)}} \quad (8)$$



3. ábra. Elágazási pontok az első síknyegyben

Az elágazási pontok mellett zárójelben szerepel n_0 értéke.

Az elágazási pontok és a határfrekvenciák ismeretében kijelölhetők $\gamma(s)$ Riemann-levelein a felhasítások. Példaként a 4. ábra megadja az LE_{03} módusoz tartozó két levélén a felhasításokat, ha $b_1 = b_2$ és $\varepsilon_1 = 2\varepsilon_2$. Az a felhasítás mentén a két levél össze van ragasztva. A b és c felhasítások mentén az $n=2$ és $n=3$, a d , e és f felhasítások mentén az $n=3$ és $n=4$ indexekhez és azonos terjedési irányokhoz tartozó levelek vannak összeragasztva.

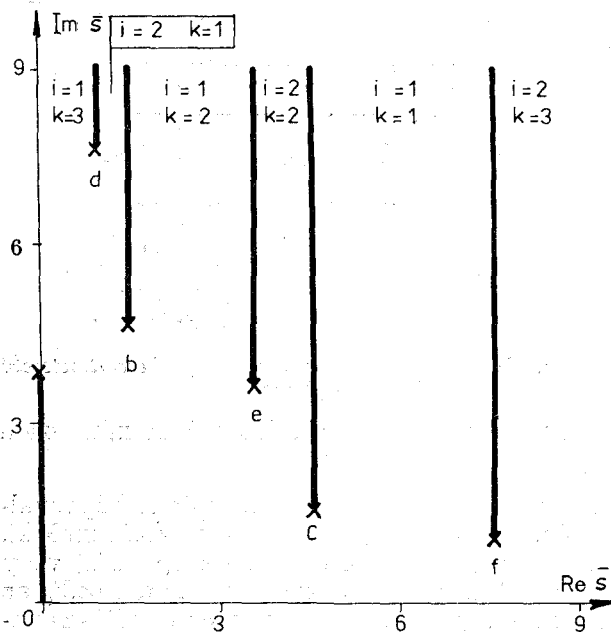
Ha $s \rightarrow \infty$, akkor λ aszimptotikus viselkedését az alábbi formulával lehet leírni:

$$\lambda \sim \varepsilon_i \mu_0 s^2 + (k\pi/b_i)^2 \quad \begin{matrix} i=1, 2 \\ k=1, 2, \dots, n \end{matrix} \quad (10)$$

A 4. ábrán i és k két felhasítás között érvényes értékei is szerepelnek. $\lambda(s)$ ágait nagy abszolút értékű s mellett érvényes viselkedés alapján is el lehet különíteni. Ekkor a felhasítások mind véges hosszúságúak, de az ágak már nem feleltethetők meg a szokásosan értelmezett módusoknak, mert vannak felhasítások, amelyek metszik az s -sík képzetes tengelyét.

I R O D A L O M

- [1] *A. Magos*: Calculation of guided waves by expansion in powers of the frequency, Periodica Polytechnica El. Eng. 22. 229—249. o. (1978).
- [2] *A. Lavik, H.—G. Unger*: Rückwärtswellen in homogenen Wellenleitern, Archiv Elektrischer Übertragung 18. 36—42. o. (1964).
- [3] *P. M. Prache*: Paramètres de propagation d'un guide d'ondes rectangulaire enfermant une plaquette isolante parallèle à une face, Cables Transm. 20. 11—28. o. (1966).



4. ábra. Felhasítások az LE_{03} módusoz tartozó leveleken

összefüggésen keresztül. Minden elágazási pont rögzített m mellett a $\lambda(s)$ függvény két ágához tartozik, amelyek az $n=n_0$ és $n=n_0+1$ indexeknek felelnek meg. Az

$$\bar{s} = \sqrt{(\varepsilon_1 - \varepsilon_2) \mu_0 b_1 s} \quad (9)$$

normalizált változó első síknegyedébe eső, az $n_0=1-5$ értékekhez tartozó összes elágazási pont elhelyezkedése látható a 3. ábrán $b_1=b_2$ mellett.